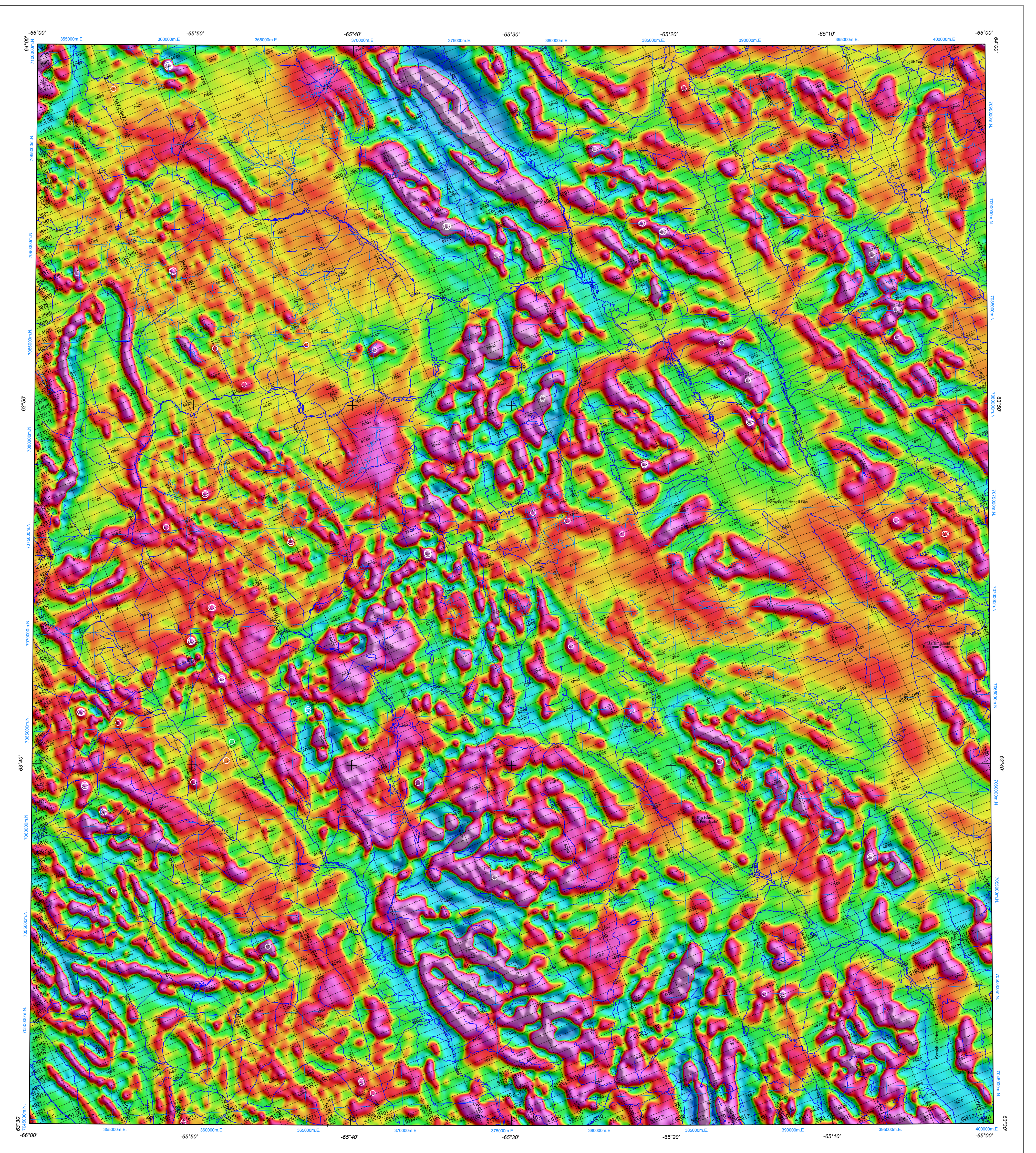




SÉRIE DES CARTES GÉOPHYSIQUES
DÉRIVÉE PREMIÈRE VERTICALE DU CHAMP MAGNÉTIQUE



First Vertical Derivative of the Magnetic Field

This map of the first vertical derivative of the magnetic field was derived from data acquired during an aeromagnetic survey carried out by Geo Data Solutions GDS Inc. and Oracle Geoscience International, covering the period July 20, 2009 to October 14, 2009. The survey used three Piper Navajo C-COGI, C-GSVM and C-GPV aircrafts. The nominal traverse and control line spacing were, respectively, 400 m and 2 400 m, and the aircraft flew at a nominal terrain clearance of 120 m. Traverse lines were oriented north-south and control lines east-west. The survey was conducted following the raw Global Positioning System data and inspection of ground images recorded by a vertically-mounted video camera. The survey was flown on a pre-determined flight surface to minimize differences in magnetic values at the intersection of control and traverse lines. The survey was leveled to the ground surface prior to the start of flight. Magnetic data were then leveled using the zero-value contour with vertical contacts at high magnetic latitudes (Hood, 1965).

The first vertical derivative of the magnetic field is the rate of change of the magnetic field in the vertical direction.

Computation of the first vertical derivative removes long-wavelength features of the magnetic field and significantly improves the resolution of closely spaced and superposed anomalies. A property of first vertical derivative maps is the coincidence of the zero-value contour with vertical contacts at high magnetic latitudes (Hood, 1965).

Digital versions of this map can be downloaded, at no charge, from Natural Resources Canada's Geoscience Data Repository (Mines). Inquiries regarding the download of digital profile and gridded data, and similar data for adjacent aeromagnetic surveys can be downloaded, at no charge, from Natural Resources Canada's Geoscience Data Repository for Aeromagnetic surveys at <http://gdr.nrcan.gc.ca/aeromag>. The same products are also available, for a fee, from the Geophysical Data Centre, Geological Survey of Canada, 615 Booth Street, Ottawa, Ontario K1A 0E9. Telephone: (613) 995-3329; email: gdc@nrcan.gc.ca.

Dérivée première verticale du champ magnétique

Cette carte de la dérivée première verticale du champ magnétique a été dressée à partir de données acquises lors d'un levé aéromagnétique effectué par Geo Data Solutions GDS Inc. et Oracle Geoscience International entre le 20 juillet 2009 et le 14 octobre 2009. Les données ont été acquises à une altitude nominale de 120 mètres au-dessus de la surface partagée (sensibilité de 0,005 nT) réalisée dans chacune des queues de vol des avions Piper Navajo C-COGI, C-GSVM et C-GPV. L'espaceissement nominal des lignes de vol était de 400 m et celui des lignes de contrôle, de 2 400 m. Les données étaient alignées nord-sud et les lignes de contrôle est-ouest. La trajectoire de vol a été restituée par application des corrections effectuées aux données brutes du système GPS et par inspection d'images du sol enregistrées au moyen d'une caméra vidéo installée sur la queue de l'avion. Les données étaient alors équilibrées pour minimiser les différences de valeur magnétique entre les intersections des lignes de contrôle et des lignes de vol. Ces différences ont été analysées par rapport à la ligne de vol et à la hauteur moyenne de vol. Ces valeurs ont ensuite été interpolées sur un quadrat de 80 m de côté pour obtenir la dérivée première verticale du champ magnétique (IGRF) à une hauteur moyenne de vol de 588 m au-dessus du niveau moyen de la mer et soutirer des valeurs corrigées.

La dérivée première verticale du champ magnétique représente le taux moyen avec lequel le champ magnétique varie le long de la ligne de vol. La dérivée première verticale améliore considérablement la résolution des anomalies rapprochées ou superposées. L'une des propriétés de cette carte de la dérivée première verticale est la coïncidence de la courbe de valeur zéro et des contacts verticaux aux hautes latitudes magnétiques (Hood, 1965).

La dérivée première verticale du champ magnétique représente le taux moyen avec lequel le champ magnétique varie le long de la ligne de vol. Ces différences ont été analysées par rapport à la ligne de vol et à la hauteur moyenne de vol. Ces valeurs ont ensuite été interpolées sur un quadrat de 80 m de côté pour obtenir la dérivée première verticale du champ magnétique (IGRF) à une hauteur moyenne de vol de 588 m au-dessus du niveau moyen de la mer et soutirer des valeurs corrigées.

References / Références

Hood, P.J., 1965. Gradient measurements in aeromagnetic surveying: Geophysics, v. 30, p. 891-902.

Keating, P., 1995. A simple technique to identify magnetic anomalies due to kimberlite pipes: Exploration and Mining Geology, vol. 4, No. 2, p. 121-125.

Keating Coefficient Correlations

Possible kimberlite targets have been identified from the residual magnetic intensity data, based on the identification of roughly circular anomalies that correspond to a known pipe system. A linear regression analysis (Keating, 1995), which includes computing of a moving average, a first-order correlation between a vertical cylinder model and the gridded magnetic data. Only the results where the absolute value of the correction coefficient is above a threshold of 80 % were retained.

The results are depicted as circular symbols scaled to reflect the correlation value. The most favourable targets are those that exhibit a cluster of high amplitude anomalies. Correlation coefficients with a negative value correspond to reversely magnetized kimberlite. It is important to be aware that other magnetic sources may correlate well with the vertical cylinder model, whereas some kimberlite pipes of irregular geometry may not.

Cylinder diameter	200 m	Diamètre du cylindre
Cylinder length	(infinite) (infini)	Longueur du cylindre
Depth of cylinder	(below the tail sensor) 120 m (sous la queue de l'avion)	Profondeur du cylindre
Magnetic inclination	80° N	Inclinaison magnétique
Magnetic declination	31° W	Déclinaison magnétique
Window cell size	9 x 640 m (x 640 m)	Celules de maille

Coefficient de corrélation Keating

Les cibles potentielles de chemins verticaux (kimberlite) ont été identifiées à partir du champ magnétique résiduel présentant un patron anomal plus ou moins circulaire. Le processus automatique d'identification a fait intervenir un algorithme qui calcule une moyenne mobile, une régression de première ordre entre le modèle d'acheminement d'un cylindre vertical et la moitié des données magnétiques. Seules les anomalies magnétiques présentent un coefficient de corrélation supérieur à 80 % sont retenues.

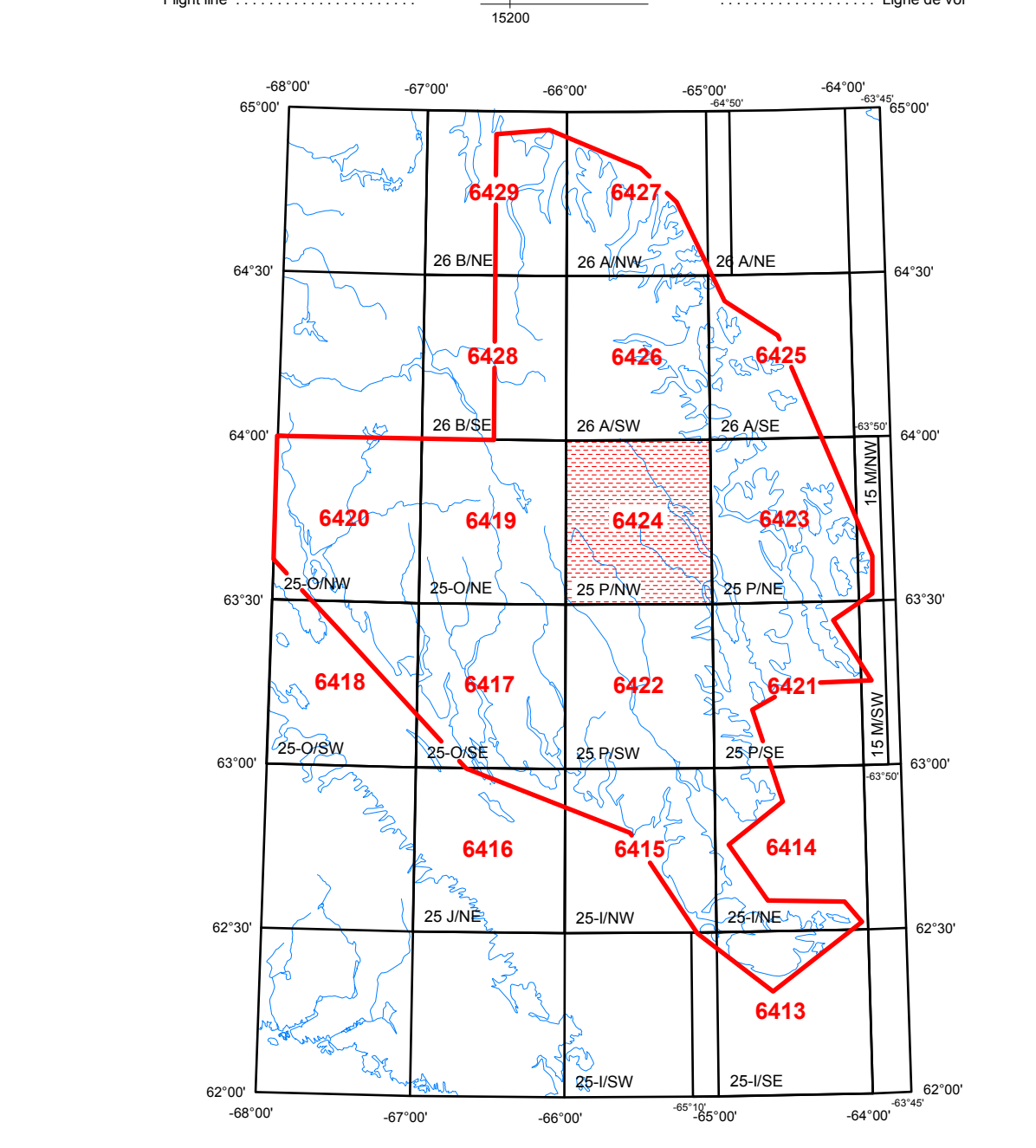
Les résultats sont représentés par des cercles dont le rayon est proportionnel au coefficient de corrélation. Les cibles les plus favorables sont celles qui contiennent un ensemble de solutions de grande amplitude. Les coefficients de corrélation de valeur négative correspondent à des sources magnétiquement inversées. Il est important de savoir que d'autres sources magnétiques peuvent montrer une bonne corrélation avec le modèle de cylindre vertical, alors que certaines chemins de kimberlite de géométrie irrégulière ne le seront pas.

KEATING COEFFICIENTS
COEFFICIENTS KEATING

○ 90%
○ 85%
○ 80%

SYMBOLS PLANIMÉTRIQUES

Project Limit Limite du projet
Drainage Drainage
Road Route
Flight line Ligne de vol



This aeromagnetic survey and the production of this map were funded by the Geomatics and Energy Minerals (GEM) Program of the Earth Sciences Sector, Natural Resources Canada.

Ce levé aéromagnétique et la production de cette carte ont été financés par le programme de Géocartographie de l'énergie et des minéraux (GEM) du Secteur des sciences de la Terre, Ressources naturelles Canada.

GSC OPEN FILE 6424 / DOSSIER PUBLIC 6424 DE LA CGC
GEOPHYSICAL SERIES / SÉRIE DES CARTES GÉOPHYSIQUES
NTS 25 P/NW / SNRC 25 P/NW

AEROMAGNETIC SURVEY HALL PENINSULA
LEVÉ AÉROMAGNÉTIQUE DE LA PÉNINSULE HALL
NUNAVUT

FIRST VERTICAL DERIVATIVE OF THE MAGNETIC FIELD
DÉRIVÉE PREMIÈRE VERTICALE DU CHAMP MAGNÉTIQUE

Scale 1:100 000 - Échelle 1/100 000

Kilometres 0 2 4 6 8 10 Kilometres

NAD83 UTM zone 20N

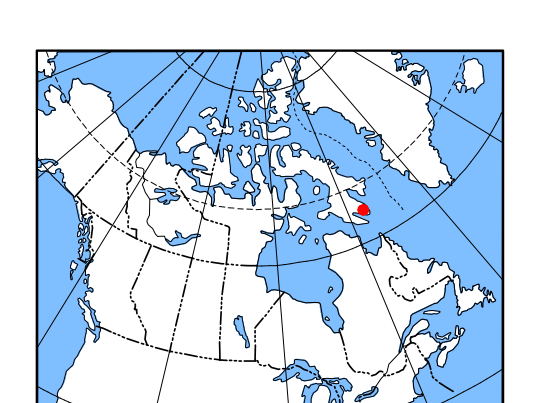
Universal Transverse Mercator Projection
Northing
© Her Majesty the Queen in Right of Canada 2010
Projection transversale de Mercator
Système de coordonnées géographiques nord-américain, 1983
© Sa Majesté la Reine du Canada 2010
Digital Topographic Data provided by Geomatics Canada, Natural Resources Canada
Données topographiques numériques de Geomatics Canada, Ressources naturelles Canada

Auteurs : R. Dumont et F. Dostaler

Acquisition des données par Oracle Geoscience International et Geo Data Solutions (GDS) Inc.

Comptage et map production by
Geo Data Solutions (GDS) Inc.
Contract and project management by
Geo Data Solutions (GDS) Inc., Québec.

Contract and project management by the Geological Survey of Canada, Ottawa, Ontario.



MAP SHEET SUMMARY / SOMMAIRE DES FEUILLETS

GSC Sheet
CGC Feuillet

MAP / CARTE

1 - Residual Total Magnetic Field
Composante résiduelle du champ magnétique total

2 - First Vertical Derivative of the Magnetic Field
Dérivée première verticale du champ magnétique

OPEN FILE DOSSIER PUBLIC 6424	Open files are products that have not gone through the GSC formal review process.
Geological Survey of Canada Commission géologique du Canada 2010	Les dossiers publics sont des produits qui n'ont pas été soumis à un processus formalisé de publication de la CGC.
MAP LOCATION / LOCALISATION DE LA CARTE	

Recommended citation:

Dumont, R. and Dostaler, F., 2010.

Geophysical Series, NTS 25 PINW,

Aeromagnetic Survey Hall Peninsula, Nunavut;

Geological Survey of Canada, Open File 6424,

scale 1:100 000.

Notation bibliographique :

Cartes des cartes géophysiques, NTS 25 PINW.

Levé aéromagnétique de la péninsule Hall, Nunavut;

Commission géologique du Canada, Open File 6424,

échelle 1:100 000.